

## دراسة سلوك البللي للحالات الأنترالاقيه في محركات الاحتراق الداخلي

أحمد عودة جاسم

كلية الهندسة - جامعة بيل

### الخلاصة

تغترب حلقات مانع التسرب (Piston sliding ring) في محركات الاحتراق الداخلي من الأجزاء التالفة في إطالة عمر المحرك والسيطرة على أداءه إذا فإن إطالة عمر هذه الحالات عند البللي الأنترالاقي الترددية (reciprocating sliding wear) يزيد من عمر المحرك وتصنع هذه الأجزاء عادةً أما من حيث التزهُر أو التلوّذ البليكي<sup>(١)</sup> كما أن الحالات المصنعة من التلوّذ البليكي تكون أكثر تحملًا ومتانة تحت ضروف العمل ولكن بكلفة أعلى ، في البحث الحالي تم تقييم أداء حلقات مانع التسرب من التلوّذ البليكي تحت ظروف تشغيل مختلفة والبالغة في محرك الاحتراق الداخلي من خلال وجود الزيت وبخار الماء المتبعث من الاحتراق الشامل للوقود كذلك تم تصنيع سبيكة بوسيطة الصبير الموضعى (باستخدام لحام TIG) لسلكين من سبيكة الفولاذ 316 مع سبيكة فوؤد، السرعة العالية بالمواصفات الأمريكية AISI 0-4-1-1 HS، الخامنة من عنصرى التنكمسن والتوكيلن، وكان التركيب الكيميائى للسبائك الناتجة بعد الصبير مبين بالجدول الثالثى:

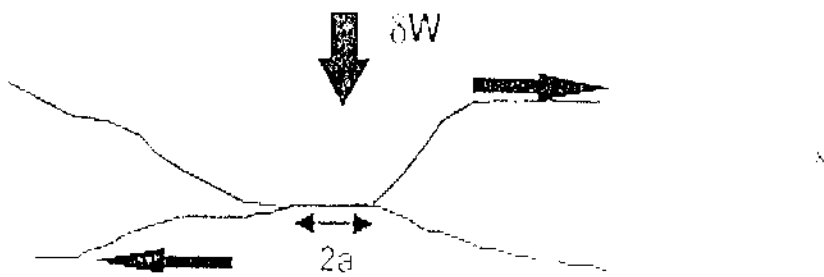
Fe	C	Si	Mn	P	S	Cr	Mo	Ni	Cu	V	Ti
%	%	%	%	%	%	%	%	%	%	%	%
Reminder	0.51	0.4	0.5	0.089	0.02	>7	>2	3.1	0.2	0.7	0.012

تم التزم بأداءها للمقاومة البلي تحت نفس الضغط وف وأظهرت النتائج بأن معدل البلي يعتمد على ضروف التشغيل وبقى باستخدام الزيت وكذلك أثبتت النتائج بأن السبيكة المصنعة تغترب بمقدار متساوية من الحالات من المنشآت الأخرى.

### المقدمة

بعد التي من الفظواهر المرافقه لسلوك الاحتكاك بين الأجزاء التي توجد بينها حركة نسبية Relative Motion ويعتمد على الكثير من العوامل منها ما يخص المواد المتراسة ومنها ما يخص الترتيب ومنها ما يخص ضغط وف العمل لذلك فهو يعتمد على طبوغرافية السطح والتي بدورها تعتمد على عملية إزدياء (finishing process)<sup>(٢,٣)</sup>.

هذا الكثير من الدراسات والبحوث التي اهتمت بدراسة طبيعة الاحتكاك والبلي وسبل التقليل منه حيث قام الباحث Archard<sup>(4)</sup> بوضع نموذج رياضي للعوامل المؤثرة على سلوك البلي واثبت رياضياً أن معنـى البلي الكثـي (Q) يتناسب طردياً مع الحـلـ المـسلطـ وـعـكـسـاًـ مـعـ صـلـادـةـ اـسـطـحـ الـأـلـيـنـ بـوـجـودـ عـاملـ قـاسـيـ (K)ـ سمـىـ بـعـاملـ (Archard)<sup>(٤)</sup>ـ وـأـنـهـ اـشـفـاقـ لـمـعـالـةـ (Archard)ـ وـعـلـىـ اـفـتـراضـ أـنـ المـادـةـ المـعـتوـدةـ مـتـنـاسـبةـ مـعـ حـجمـ اـقـماـسـ بـيـنـ النـتوـافـ يـكـونـ :



الشكل رقم ( ١ ) يوضح دوائر التلامس للبلي الانصافي<sup>(٣)</sup>

$$\Omega = K \frac{\delta W}{a} = K \frac{\pi a^2}{3}$$

$K$ : حمل المتر المربع المماثل للمتر المربع

$$= K \sum \frac{\pi a^2}{3}$$

$$\text{Also } \delta W = H \pi a^2 \quad H: \text{صلادة الشعاعات الدين}$$

$$\text{So } W = H \sum \pi a^2 \quad \text{مجموع تفاصيل على جميع الشعاعات}$$

$$\Omega = \frac{K W}{3H} = K \frac{W}{H}$$

$$\text{or } \Omega = K W \quad \text{with } K = K/W \\ \text{units: } m^2 N^{-1} \text{ or, often, } mm^3 m^{-1} N^{-1}$$

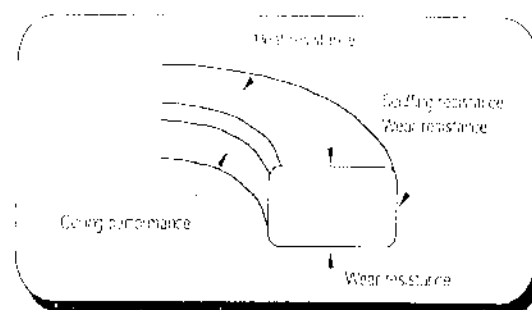
كذلك له صنف اباحث Komvopoulos and Nagarathnaan<sup>(٤)</sup> إلى إمكانية استخدام ليزر CO<sub>2</sub> بقدرة 10 Watt للاكساء الصلب الكاربوني باستخدام مزيج من مساحيق (الحديد - الكروم - الكربون) ونسبة (10-5-1) على التوالي حيث تم الحصول على متلازمة بلي وصلادة عالية وبثبات بلورية زادمة أما الباحث Walid K.Hamoudi<sup>(٥)</sup> فقد تمكن من تصميم الفولاذ الكاربوني والحصول على صور المزرتسبت باستخدام ليزر (CO<sub>2</sub>) عتي المقدرة وأثبت أن الصلادة الناتجة لها علاقة بسرعة الإشعاع ونسبة الكربون . أم الباحث د.محمد جاسم كاظم<sup>(٦)</sup> فقد قام بإكساء سطح الفولاذ الكاربوني و باستخدام الليزر مسحوق من الصلب المقاوم للصدأ 316 L مع مسحوق سيراميكي بنسبة 5% من الزركونيا وابتهاجا (ZrO<sub>2</sub>+Y<sub>2</sub>O<sub>3</sub>) . وتوصل الباحثان رابحة صالح ياسين وعباس عبد الله أحمد<sup>(٨)</sup> إلى أن معدل البلي في المصبوّبات التي أجريت لها معاملة المجاورة ولفتره زمنية 130 ساعة أقل بكثير من المصبوّبات غير

المتجانسة . قام الباحث نجم عبد الأمير<sup>(٩)</sup> إلى دراسة سلوك السوفان الأنزلاقى والترددى لكراسى التحصليل ذاتية التزيت من نوع نحاس + فضفاض ١٠% ونحاس ١٠+ ١٠% كرافيت حيث أظهرت النتائج تفوقاً جاداً للتحصليل لمقاومة البلي . أما الباحث J.N.Sulttan<sup>(١٠)</sup> فقد درس سلوك الأنزلاق للتحصليل المسامي وغير المسامي تحت ظروف التزيت وقد أظهرت النتائج انخفاض الاحتكاك والتأكل في العينات المسامية وغير المسامية . أما البحث الحالى يهدف إلى دراسة سلوك البلي لحلقات مانع التسرب من منشأ خارجي وتصنيع سبكة مكافحة لها في مقاومة البلي وتحت نفس الظروف .

#### الجزء العصلى

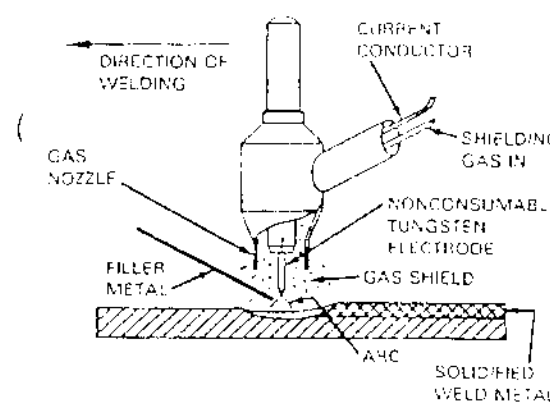
#### المواد المستخدمة

- ١- تم تحضير عينات من حلقات مانع التسرب(من المنشأ الخارجى) بعد تقطيعها إلى قياسات ٥ mm × ٥ mm وبسمك قياسى (سمك الحلقة) والشكل الثالى رقم (٢) يوضح مقطع من حلقة مانع التسرب:



الشكل رقم (٢) يوضح مقطع لحلقة مانع التسرب

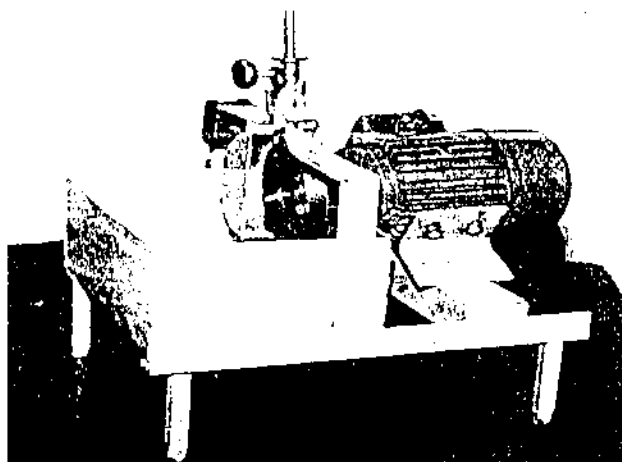
حيث تم إعداد العينات من الأذكارنة بالستخدام ورق التخليل بارقام ٣٢٠ ٢٢٠ ، ٥٠٠ ، ١٠٠٠ ، على أن تتم تقطيعها بالستخدام مسمى في الأذكارنة ما اثنى التضييف بالستخدام الكحول البلي . وأبعادها اعتمدة الأختبار . تم تحضير عينات المذكورة أعلاه بطريقة الترسيب الموضعى (بال.nlmادام طريقه لم يتم الغرّ الزامل (H.G)) وبتركيز سلك بمطر ٢ mm من فولاذ مفروم (الستainless steel) ٣١٦ مع سلك من سبكة فولاذ صلب الترسيرات (H.S.S) للمواصفات الأمريكية (A.S.T.M) ٤٠-٤-١ HS ومترا ٤ mm ومترا ٤ mm وتم الترسيب على صنائع من التكرار حيث كما مبين في الشكل أدناه:



الشكل رقم (٣) يوضح آلية الصهر الموضعي بالستخدام لحام (TIG) (سبائك الـ ٣١٦ L H.S.S)

## الاختبارات

١- فحص البلي الائزافي (الانتصافى) : تم تفحص العينات المحضرة من المسيلات المقاومة للبابي الائزافي والذى يعتمد على مسطوب المسمار على القرص ( Pin-On-Disk ) والموضح في الشكل رقم(٤) أدناه ويشكّل هذا الجهاز من محرك كهربائي ذو سرعة دورانية ثابتة مقدارها ( ١٥٠٠ rpm ) وثبتت في نهاية المحرك قرص من الصلب الكربوني (متوسط الكاربون) ويتحرك هذا القرص داخل حوض يحتوى على مائع التشغيل كذلك يحتوى على منظومة التحمل لتغير الحمل المسلط على العينات علماً أن الحمل المسلط هو gm 77.012 بظمنه وزن حامل العينة .



الشكل رقم (٤) يوضح جهاز البلي الانتصافى

## ٢- اختبار الصلادة :

تم اختبار تصدّرته باستخدام جهاز دبكر تصلادة الدقيقة ( Micro hardness Tester ) صيني ( 1000 ) و كانت قيم الصلادة لعينتين هي :

صدّادة المعدنية (الستا الخارجي) من حديد الزهر الرمادي 215 HV

صدّادة الستا المحسّنة بطريقة الترسيب الموسعي ( HSO-4-1 ) 316L 375 HV

## ٣- فحص البنية المجهرية :

تم تصنيف العينات وأجزاء عمليات التجليخ والمسقق وتبيلتها للفحص المجهرى (تم فحص العينة من المنشأ الخارجى لعرفة البنية المجهرية لها) وباستخدام العجور الضوئي ( Union ) وكانت البنية المجهرية مكونة من شرائح ناعمة من الكرافيت وكما موضحة في الشكل أدناه :



الشكل رقم (٥) يوضح البنية المجهرية لحافة مانع التسرب المصنعة من حديد الزهر الرمادي وبتكبير X

٤٠

#### النتائج والمناقشة

الشكل (٦) يوضح العلاقة بين الوزن المفقود مع الزمن لعدة من عينات الحفارات من الصخور الأختنوي والبلي التي اختبرها بظروف البلي الانزلاقي (sliding ring) وباستخدام المزيت التقليدي (S.I) في محركات الاحتراق الداخلي، ومن ملاحظة المتحف فأن العلاقة تبدأ بالزيادة الحادة ثم تبدأ بالاستقرار لأن التغيرات تبدأ بتكسر الشكل كبير في بداية الاحتكاك وذلت بسبب التعلق الموجود بين سطح السطحين عند بداية التشغيل وباستقرار الحركة فإن غشاء الزرب يتبدأ بالانتعاش إلى داخل هذه التغيرات مما يؤدي إلى فصل السطحين ونهاية التعلق، وبالتالي تقليل نسبة البلي<sup>(٣)</sup>. أما الشكل (٧) يبين العلاقة بين الوزن المفقود مع الزمن وتغير النساج وعد نفر ظرف الاختبار (السرعة، الحمل) وبوسط ترتيب مختلف (الماء) حيث أن هذا الوسط يدخل كالماء تزيد من ذافية ومحترر تأثير من ذافية أخرى لـ<sup>(٤)</sup> فإن ظرف الانزلاق موجود شراء بجزء من فيما تأثير ارتكاك والتآكل معًا فالماء يزيد من معدل البلي في بداية الانزلاق وذلك بسبب زيادة الوزن فيما تأثير ارتكاك والتآكل معًا فالماء يزيد من معدل البلي في بداية الانزلاق وذلك بسبب زيادة الوزن المفقود، الشكل (٩) يوضح تقليل الوزن المفقود بعد فترة من التشغيل نتيجة للأثر الحراري على حطام التآكل ثم تغير البلاستيكية كمزيل والذى يؤدي إلى استقرار قيم الوزن المفقود، أن جميع الحالات التي تم دراستها قورنت مع حالة البلي الانزلاقي الجاف المثبت في الشكل (٨) ونلاحظ قيم البلي تستمر بالزيادة مع الزمن وبشكل حدودي لحين الانتهاء من فترة الاختبار ومن خلال المقارنة مع الشكل (١٠) تبين أن قيم الوزن المفقود لجميع الحالات تكون أقل بكثير من قيم البلي الانزلاقي الجاف والذي يحصل بشكل كبير في بداية تشغيل المحرك (١٠) أو عند فقدان الترتيب.

أما الشكل (11) فيبين العلاقة بين الوزن المفقود من الزمن للبيكية المكافحة (المصنعة) تحت نفس ظروف العمل بدون استخدام مزيج ونلاحظ من خلال قيم الوزن المفقود وتغيرات الزمرة للعينات المحظرة من الحافة الأُخريه انتهاً أن هذه البيكية تمتاز بمقاومة أعلى من البيكية المستخدمة في الحقائب والمصنوعة من (حديد الزهر الرمادي) وهذا يرجع إلى أن قيم الوزن المفقود من حديد الزهر تكون أعلى ويرجع السبب في ذلك إلى پغافر غم من الصلادة البشة والحجم الجسيمي الناعم لشراوح الكرافيت (Flake ) للحافة المصنوعة من حديد الزهر الرمادي إلا أن البيكية المصنوعة من (فولاذ سباكتكي) والثانية من صهر سبيكتن إدناهاما فولاذ مقاوم للحاصا ١٣٦ ( ذات التركيب الأوستيني الين ) والأخر فولاذ سير عات العلية في حالة التحمر (الاستخدام نحام TIG ) تحوى على كاربيدات صدأ جداً والاحتمال الكبير في تكون المارتنسيات أثناء عملية تصهر وترسيب يتبعها التبريد بالبواه علماً أن المارتنسيت الناتج يحتوى على عناصر سبك إضافية تكتسبون وبالتالي ارتفاع الصلادة ومقاومة البلي لها. أما الشكل (12) (يبيّن نفس العلاقة السابقة ولكن باستخدام نوع تربيت (S4)).

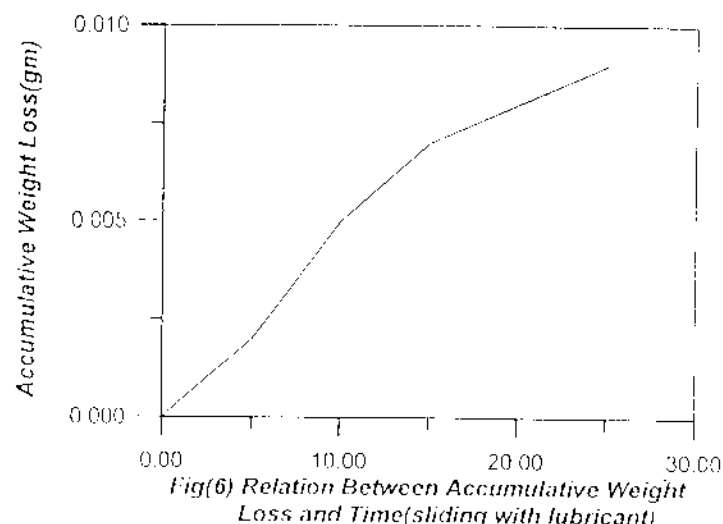
### الاستنتاجات

في صورة التجارب العملية تم التوصل إلى الاستنتاجات الآتية:

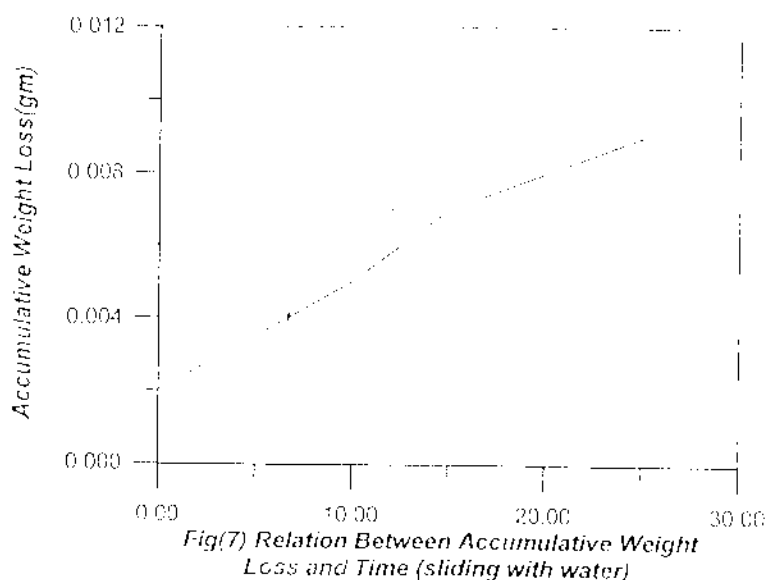
١. زيادة معدل اتبار مع زيادة الزمن ولجميع الاختبارات .
٢. زيادة البلي الافتراضي الجات للحافة المصنوعة من حديد الزهر الرمادي .
٣. تفاصيل الوزن المفقود للبيكية المصنوعة من الفولاذ سباكتكي مقارنة مع الحافة المصنوعة من حديد الزهر الرمادي .
٤. يؤدي التربيت إلى تذليل قيمة البلي واستقرار قيمته وبشكل كبير مع زيادة زمن الاتزلاق .
٥. مثل الماء كعامل مؤثر يعود إلى زيادة قيمة البلي في بداية التشغيل (الاختبار ) .

### References

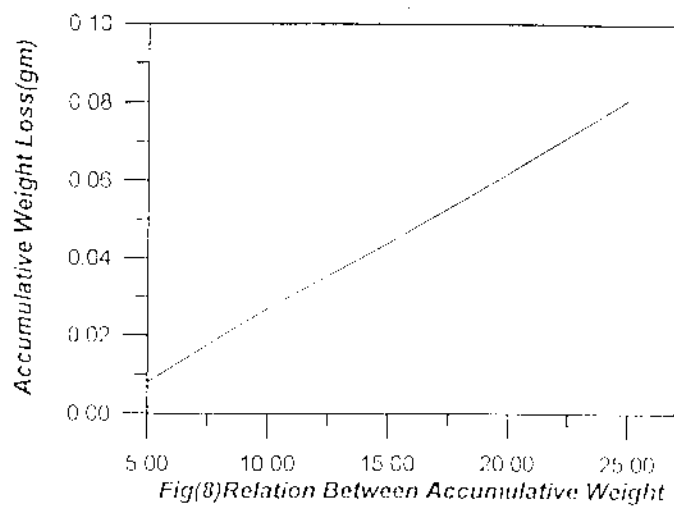
- 1-E.A.A. Crane & J.A. Charles (Selection and use of engineering materials) 1984
- 2-J."Introduction to tribology" wykeham publication (London) ltd - 1976.
- 3-J.F.Archard&W.Hirst" The wear of metals under unlubricated condition", PROC. R. soc. London 1956
- 4-A.D.Roberts, Tripology Info., 11 (1978) 7.
- 5-K.Konvopoulos and K. Nagrathnam J. of Engineering Materials and Technology, 112,13,1990.
- 6 Dr. Walid K. Hammon, (Cladding of medium carbon steel with stellite powder using a Co2 laser), Engineering and Technology Journal, vol. 18, NO.3-1998.
- 7 .. محمد جاسم كاظم، (أنصاء العصب الكاريوني باستخدام الليزر )، مجلة الهندسة والتكنولوجيا . الجامعة للتكنولوجية . المجلد ١٧ ، العدد ٦ ، سنة ١٩٩٨ .
- 8- ربيحة صالح ياسين و عباس عبد الله احمد (تأثير الماجستير لبيكية ( Al - 14 wt % Si ) )، مجلة الهندسة والتكنولوجيا . الجامعة للتكنولوجية ، المجلد ١٧ ، العدد ١ ، ١٩٩٨ .
- 9-N.A. Saad (Sliding Wear of Self-Lubricating Bearing) MSC. Thesis University of Babylon, 1995.
- 10-N .sulttan"sliding wear of porous surfaces under lubricated conditions" MSC Thesis , Technology University ,Iraq ,1984



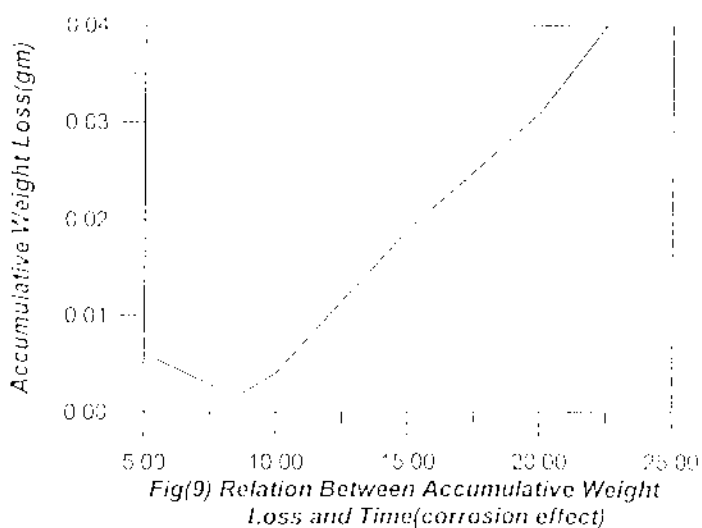
Fig(6) Relation Between Accumulative Weight Loss and Time(sliding with lubricant)



Fig(7) Relation Between Accumulative Weight Loss and Time (sliding with water)

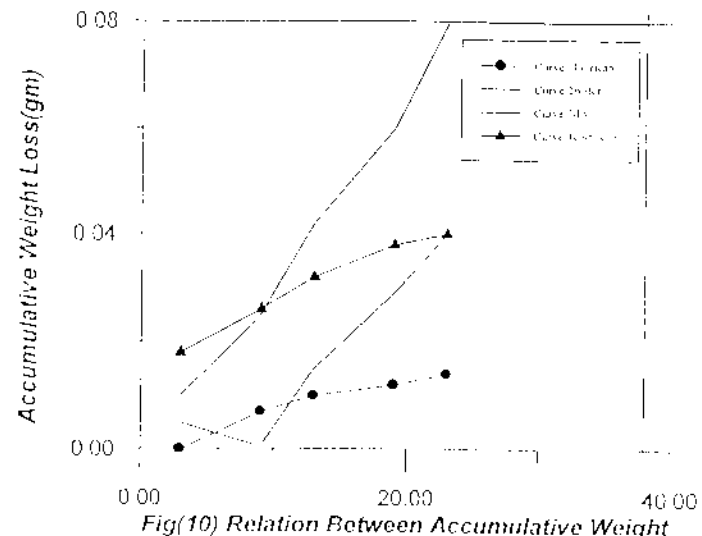


Fig(8) Relation Between Accumulative Weight Loss and Time (dry sliding)

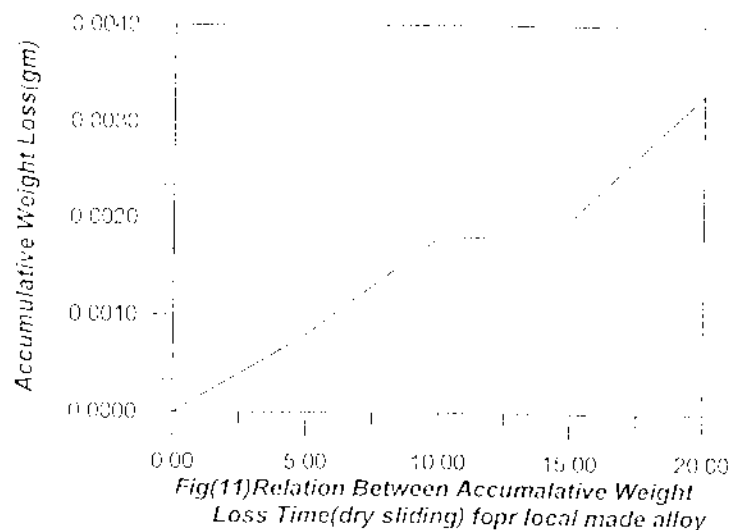


Fig(9) Relation Between Accumulative Weight Loss and Time(corrosion effect)

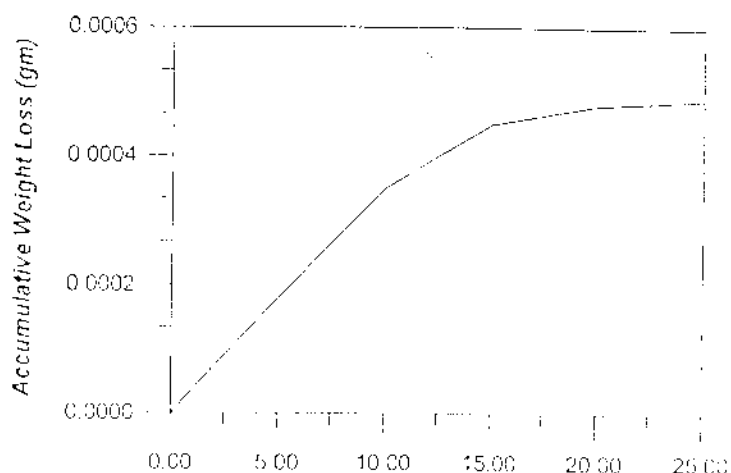
Fig : 6 جذب / انتقال معدن / انتقال احتراق



Fig(10) Relation Between Accumulative Weight Loss and Time(for all conditions)



Fig(11) Relation Between Accumulative Weight Loss Time(dry sliding) for local made alloy



Fig(12) Relation Between Accumulative Weight Loss and Time (sliding with lubricant) for local made alloy

## Abstract

Piston sliding ring is an important part in internal combustion engine and the life of the engine depends on the performance of the sliding ring. Piston ring materials for engine are being changed from current cast iron to alloy steel. Steel rings are more durable under tough conditions and also more cost in order to evaluate the validity of the study, a foreign slide ring made of (Grey cast Iron ) was evaluated under the conditions in (I.C.) engine (oil vapor of water emission from hydrocarbon combustion ). Also anew alloy made by local melted fused welding process by (Ti ) tow wires (316 L and high speed steel HSS 0-4-1 without tungsten and cobalt contains). The chemical composition for new alloy after melted showed above.

Results of this work show that the wear rate depend on sliding wear conditions and decreased with oil and the wear rate for new alloy is approximately the same of foreign made..

## السيطرة على نعومة الاسطح المشغلة بطريقة ECM

سعد شذر

تحسين على الخطاب

شركة حطين العامة

جامعة بابل - كلية الهندسة

فاسم سمير

علااء محمد حسين

شركة حطين العامة

جامعة بابل - كلية الهندسة

### لذ المقدمة

لقد سبب تعلم تجربة كبيرة في مجال قطع المعادن وخاصة الأجزاء ذات الاستخدام الواسع النطاق في الآلات الحجر كبريتات والتوربينات وغيرها في السنوات الأخيرة بذلك الاتجاه نحو استخدام طرق غير تقليدية للقطع ولكن بمقاييس بديل لعمليات التشغيل الميكانيكي والتي تهدف إلى قطع المعادن دون حرارة حيث تزداد استabilit في العدد المستخدمة لهذا الغرض ، واحدى هذه الطرق هي طريقة التسغيل الكهروكيميائي (ECM) أو ما يعرف اختصاراً (ECM) والتي تبني على مبدأ التقطير الأيوني.

لقد يحاول هذا البحث دراسة نظرية للعوامل المؤثرة على التشغيل بطريقة (ECM) كالتأثير الكبير دني، المحظول الألكتروكيمي ودرجة تركيزها، عرض الفحوة الحاصلة من حراء التشغيل أمضا الجانب تسعين فقد تضمن تشغيل عينات ثلاثية ومقارنتها مع عينات من نفس نوعية الفولاذ التي تم تشغيلها بطريقة التشغيل الميكانيكي ومن ثم قيام تحويلة السطح (Roughness) المشغول حيث لمكن الحصول على نعومة سطح عالية تصل إلى (V8) بعد السبورة على صور من الفجوة للحصول على أخذية ثانية ومتوازنة في حين لم تتجاوز الـ العدة مرات بالطريقة التقليدية عن (V6).

### قائمة الرموز و المصطلحات

فرق الجهد (فولت)	V
المقاومة	R
التيار.	I
المقاومة النسبية.	P
المسافة	L
مسافة القطع.	A
السكافى الألكتروكيميائى	z
الوزن الذري المكافى.	Mw.eq
كمية المادة المارة (المترية)	m
الوزن الذري (gm)	a
زمن التفاعل (min)	t
نكفرا المادة	n
ثابت فراداي $7.496 \times 10^6$	b
تحجم النوعي	V.
سرعة العذبة	V.